

# Análisis de Datos del Cáncer de Pulmón NCCTG

December 19, 2024

## Introducción

El cáncer de pulmón es una de las principales causas de mortalidad en todo el mundo, siendo responsable de millones de muertes cada año. En este contexto, los datos clínicos resultan fundamentales para entender los factores que afectan la supervivencia de los pacientes y, en última instancia, mejorar las estrategias de tratamiento. El conjunto de datos del cáncer de pulmón NCCTG proporciona información valiosa sobre pacientes con cáncer de pulmón avanzado recopilada por el Grupo de Tratamiento del Cáncer del Norte Central. Este conjunto de datos incluye tanto variables clínicas como datos autoinformados por los pacientes, lo que permite una visión integral de las condiciones de los mismos.

El propósito de este análisis es explorar las características de este conjunto de datos, identificar patrones significativos y comprender cómo ciertas variables, como la edad, el sexo, las puntuaciones de rendimiento físico y la pérdida de peso, influyen en los tiempos de supervivencia. A través de este análisis, se espera contribuir a la identificación de posibles predictores de la supervivencia que podrían ser útiles en entornos clínicos y en investigaciones futuras.

## Descripción del Conjunto de Datos

El conjunto de datos contiene información detallada sobre 228 pacientes y se estructura en las siguientes variables clave:

- **inst**: Código de la institución donde se atendió al paciente. Esta variable permite identificar la procedencia de los datos.
- **time**: Tiempo de supervivencia del paciente en días desde el inicio del estudio hasta el momento del fallecimiento o censura.
- **status**: Estado de censura al final del estudio. Se codifica como 1 para censurado (es decir, el paciente estaba vivo al final del seguimiento) y 2 para fallecido.
- **age**: Edad del paciente en años al inicio del estudio. Esta variable es crucial para evaluar la influencia de la edad en la supervivencia.
- **sex**: Sexo del paciente, codificado como 1 para masculino y 2 para femenino.
- **ph.ecog**: Puntuación de rendimiento según el Índice de Rendimiento ECOG (Eastern Cooperative Oncology Group):

- 0: Asintomático.
  - 1: Sintomático pero completamente ambulatorio.
  - 2: En cama menos del 50% del día.
  - 3: En cama más del 50% del día pero no postrado.
  - 4: Postrado en cama.
- **ph.karno:** Puntuación de rendimiento de Karnofsky asignada por el médico, que varía de 0 (muy mal estado) a 100 (excelente estado físico).
  - **pat.karno:** Puntuación de rendimiento de Karnofsky asignada por el propio paciente, lo que permite comparar la percepción del paciente con la evaluación del médico.
  - **meal.cal:** Cantidad de calorías consumidas durante las comidas diarias, una medida que puede reflejar el estado nutricional del paciente.
  - **wt.loss:** Pérdida de peso en los últimos seis meses, medida en libras. Esta variable es un indicador importante del deterioro físico en pacientes con cáncer avanzado.

## Contexto y Antecedentes

El uso de los datos clínicos para el análisis de supervivencia se ha convertido en una herramienta esencial en oncología. En particular, el conjunto de datos NCCTG fue recopilado para evaluar factores pronósticos relacionados con la supervivencia de pacientes con cáncer de pulmón avanzado. Una característica notable de este conjunto de datos es el uso de codificaciones específicas (por ejemplo, 1 y 2 para vivo y muerto, respectivamente) en lugar de las convencionales 0 y 1. Este enfoque, aunque inusual, se adoptó por motivos técnicos durante la era de las tarjetas perforadas en sistemas como el IBM 360 Fortran, donde los valores en blanco se interpretaban como ceros. Aunque estos sistemas han quedado obsoletos, las prácticas asociadas persistieron durante años.

El estudio asociado con este conjunto de datos, liderado por Loprinzi et al. (1994), exploró cómo las puntuaciones de rendimiento y otras variables influían en la supervivencia. Estas puntuaciones, como las de Karnofsky y ECOG, han demostrado ser herramientas valiosas para evaluar el estado funcional de los pacientes y predecir resultados clínicos. Además, variables como la pérdida de peso y la ingesta calórica son indicadores del estado nutricional, que también juega un papel crítico en el manejo del cáncer.

## Objetivos del Análisis

Este informe tiene como objetivos:

- Resumir y describir las características principales de las variables del conjunto de datos.
- Identificar patrones y tendencias en los tiempos de supervivencia y los estados de censura.
- Evaluar la relación entre las puntuaciones de rendimiento, el estado nutricional y los resultados de supervivencia.

- Proporcionar una base para análisis futuros más complejos, como modelos de regresión de supervivencia.

## Análisis de las variables

### Inst

Dado que este valor solo representa la institución donde se atendió al paciente, no se considera relevante para el análisis de supervivencia y, por lo tanto, no se incluirá en los análisis posteriores.

### Time

La variable de tiempo de supervivencia es fundamental para el análisis de supervivencia y se presenta en días. **La Figura ??** muestra un histograma de los tiempos de supervivencia, que revela una distribución asimétrica con una cola larga hacia la derecha. La mayoría de los pacientes sobrevivieron menos de 500 días, con un pico alrededor de los 200 días. La censura también es evidente en los datos, ya que hay un número significativo de pacientes cuyo tiempo de supervivencia no se conoce debido a la censura.

### Clasificación de la variable

En cuanto al tipo de variable es **cuantitativa discreta** debido a que se da en el número de días que sobrevivió el paciente y de **intervalos** ya que el 0 tiene un significado.

### Medidas de tendencia central

A continuación se presentan las medidas de tendencia central para la variable de tiempo de supervivencia:

| Medida   | Valor    |
|----------|----------|
| Media    | 305.2325 |
| Moda     | 163      |
| Mediana  | 255      |
| Q1 (25%) | 166      |
| Q3 (75%) | 396      |

Table 1: Medidas de tendencia central para el tiempo de supervivencia

## Medidas de variabilidad

A continuación se presentan las medidas de variabilidad para la variable de tiempo de supervivencia:

| Medida                  | Valor     |
|-------------------------|-----------|
| Máximo                  | 1022      |
| Mínimo                  | 5         |
| Rango                   | 1017      |
| Varianza                | 44371.54  |
| Desviación Estándar     | 210.6455  |
| Coficiente de Variación | 0.6901152 |

Table 2: Medidas de variabilidad para el tiempo de supervivencia

## Prueba de Distribución

El siguiente gráfico muestra la distribución de los tiempos de supervivencia comparada con diferentes tipos de distribución.

hrule height 0.5mm

Por tanto es conveniente realizar las pruebas de hipótesis para determinar si la variable sigue una distribución específica. Dicha prueba resultó en los siguientes valores:

| Prueba                            | p-value       |
|-----------------------------------|---------------|
| Anderson-Darling (Normal)         | 7.417945e-14  |
| Kolmogorov-Smirnov (Normal)       | 0.001288452   |
| Shapiro-Wilk (Normal)             | 5.114211e-10  |
| Kolmogorov-Smirnov (Exponencial)  | 2.970448e-07  |
| Kolmogorov-Smirnov (Gamma)        | 0.3606842     |
| Kolmogorov-Smirnov (Chi-cuadrado) | 3.916153e-192 |

Table 3: Resultados de las pruebas de distribución para la variable *time*

Como es posible apreciar solo la prueba de Kolmogorov-Smirnov para la distribución Gamma no rechaza la hipótesis nula, por lo que se puede concluir que no es posible negar la variable **time** posee una distribución Gamma y por tanto la asumiremos en el análisis siguiente.

## Intervalo de confianza para la media

El intervalo de confianza para la media de la variable **time** es de 269.2987567105341 a 341.1661555701677 con un nivel de confianza del 99%. Esto lo podemos saber gracias al siguiente código :

```
1 import pandas as pd
2 import numpy as np
3 from scipy.stats import norm as z
4
5 # Leer el archivo CSV y seleccionar la columna 'time'
```

```

6      muestra = pd.read_csv('lung_dataset.csv')['time'].dropna().
          values
7
8
9      media_muestral = np.mean(muestra)
10     desviacion_muestral = np.std(muestra, ddof=1)
11     n = len(muestra)
12
13     # Nivel de confianza y grados de libertad
14     nivel_significancia = 0.01
15     confianza = 1 - nivel_significancia
16
17
18     z_critico = z.ppf(1 - nivel_significancia / 2)
19
20
21     margen_error = z_critico * (desviacion_muestral / np.sqrt(n))
22     limite_inferior = media_muestral - margen_error
23     limite_superior = media_muestral + margen_error
24
25     print(media_muestral, desviacion_muestral, (limite_inferior,
          limite_superior))

```

Listing 1: Código en Python para calcular el intervalo de confianza

## Hipótesis atractiva (luego creas una)

### Status

La variable de estado de censura, codificada como 1 para censurado y 2 para fallecido, es crucial para el análisis de supervivencia. **La Figura ??** muestra la distribución de los estados de censura en el conjunto de datos. La mayoría de los pacientes están censurados, lo que refleja la naturaleza de los estudios de supervivencia donde no todos los pacientes experimentan el evento de interés (es decir, la muerte) durante el período de seguimiento. Dado que este valor es categórico, no se realizarán los análisis pertinentes.

### Age

La edad del paciente al inicio del estudio es una variable importante para evaluar la influencia de la edad en la supervivencia. **La Figura ??** muestra un histograma de las edades de los pacientes, que revela una distribución aproximadamente simétrica con un pico alrededor de los 65 años.

### Clasificación de la variable

En cuanto al tipo de variable es **cuantitativa discreta** debido a que se da en el número de años que tiene el paciente y de **intervalos** ya que el 0 tiene un significado.

### Medidas de tendencia central

A continuación se presentan las medidas de tendencia central para la variable de edad:

| Medida   | Valor    |
|----------|----------|
| Media    | 62.44737 |
| Moda     | 60       |
| Mediana  | 63       |
| Q1 (25%) | 56       |
| Q3 (75%) | 69       |

Table 4: Medidas de tendencia central para la variable de edad

### Medidas de variabilidad

A continuación se presentan las medidas de variabilidad para la variable de edad:

| Medida                    | Valor      |
|---------------------------|------------|
| Máximo                    | 82         |
| Mínimo                    | 39         |
| Rango                     | 43         |
| Varianza                  | 82.3276142 |
| Desviación Estándar       | 9.0734566  |
| Coefficiente de Variación | 0.1452977  |

Table 5: Medidas de variabilidad para la variable de edad

### Prueba de Distribución

El siguiente gráfico muestra la distribución de las edades de los pacientes comparada con diferentes tipos de distribución.

Por tanto es conveniente realizar las pruebas de hipótesis para determinar si la variable sigue una distribución específica. Dicha prueba resultó en los siguientes valores:

| Prueba                            | p-value       |
|-----------------------------------|---------------|
| Anderson-Darling (Normal)         | 0.009280497   |
| Kolmogorov-Smirnov (Normal)       | 0.2508968     |
| Shapiro-Wilk (Normal)             | 0.00482907    |
| Kolmogorov-Smirnov (Exponencial)  | 6.191832e-46  |
| Kolmogorov-Smirnov (Gamma)        | 4.863935e-31  |
| Kolmogorov-Smirnov (Chi-cuadrado) | 1.831273e-198 |

Table 6: Resultados de las pruebas de distribución para la variable *age*

Como es posible apreciar bajo un nivel de significancia de 0.01 la prueba de Kolmogorov - Smirnov para la distribución normal no rechaza la hipótesis nula, por lo que se puede concluir que no es posible negar que la variable **age** posee una distribución normal y por tanto la asumiremos en el análisis siguiente.

### Intervalo de confianza para la media

El intervalo de confianza para la media de la variable **age** es de 60.89954141062864 a 63.99519543147662 con un nivel de confianza del 99%. Esto lo podemos saber gracias al

siguiente código, al ser análogo al código 1 utilizado para el intervalo de confianza de la variable **time** solamente sustituiríamos:

```
1 muestra = pd.read_csv('lung_dataset.csv')['age'].dropna().values
```

Listing 2: Código en Python para calcular el intervalo de confianza

## Hipótesis creativa (lo mismo)

### Sex

La variable de sexo del paciente, codificada como 1 para masculino y 2 para femenino, es un factor importante a considerar en el análisis de supervivencia. Sin embargo, debido a su naturaleza categórica, no se pueden aplicar directamente las mismas técnicas estadísticas que se utilizan para las variables cuantitativas. En lugar de ello, se pueden realizar análisis de supervivencia estratificados por sexo.

**La Figura ??** muestra la distribución de los pacientes por sexo. Como se puede observar, hay una proporción ligeramente mayor de pacientes masculinos en comparación con los femeninos. Esta diferencia en la distribución de sexos puede influir en los resultados de supervivencia y, por lo tanto, es crucial tenerla en cuenta en cualquier análisis posterior.

### Ph.karno

La puntuación de rendimiento de Karnofsky asignada por el médico es una medida importante del estado funcional del paciente. **La Figura ??** muestra un histograma de las puntuaciones de rendimiento de Karnofsky, que revela una distribución asimétrica con un pico alrededor de 80-90. Las puntuaciones de rendimiento de Karnofsky son una herramienta valiosa para evaluar la capacidad funcional de los pacientes y pueden ser predictivas de los resultados de supervivencia.

## Clasificación de la variable

En cuanto al tipo de variable es **cuantitativa discreta** debido a que se da en el número de puntos asignados por el médico de 0 a 100 y de **intervalos** ya que el 0 tiene un significado.

## Medidas de tendencia central

A continuación se presentan las medidas de tendencia central para la variable *ph.karno*:

| Medida   | Valor    |
|----------|----------|
| Media    | 81.93833 |
| Moda     | 90       |
| Mediana  | 80       |
| Q1 (25%) | 75       |
| Q3 (75%) | 90       |

Table 7: Medidas de tendencia central para la variable *ph.karno*

## Medidas de variabilidad

A continuación se presentan las medidas de variabilidad para la variable *ph.karno*:

| Medida                    | Valor       |
|---------------------------|-------------|
| Máximo                    | 100         |
| Mínimo                    | 50          |
| Rango                     | 50          |
| Varianza                  | 151.9784804 |
| Desviación Estándar       | 12.3279552  |
| Coefficiente de Variación | 0.1504541   |

Table 8: Medidas de variabilidad para la variable *ph.karno*

## Prueba de Distribución

La siguiente tabla muestra la distribución de las puntuaciones de rendimiento de Karnofsky comparada con diferentes tipos de distribución.



| Prueba                            | p-value       |
|-----------------------------------|---------------|
| Anderson-Darling (Normal)         | 1.263849e-19  |
| Kolmogorov-Smirnov (Normal)       | 4.325704e-08  |
| Shapiro-Wilk (Normal)             | 1.660601e-10  |
| Kolmogorov-Smirnov (Exponencial)  | 2.68196e-48   |
| Kolmogorov-Smirnov (Gamma)        | 1.419316e-32  |
| Kolmogorov-Smirnov (Chi-cuadrado) | 1.353117e-197 |

Table 9: Resultados de las pruebas de distribución para la variable *ph.karno*

Como es posible notar la distribución empírica de las puntuaciones de rendimiento de Karnofsky no sigue ninguna de las distribuciones conocidas (por lo que intentamos ver que hacemos).

## Intervalo de confianza para la media

### 0.0.1 Hipótesis creativa (lo mismo)

#### Pat.karno

La puntuación de rendimiento de Karnofsky asignada por el propio paciente es una medida importante del estado funcional percibido por el paciente. **La Figura ??** muestra un histograma de las puntuaciones de rendimiento de Karnofsky asignadas por los pacientes, que revela una distribución asimétrica con un pico alrededor de 80-90. Las puntuaciones de rendimiento de Karnofsky asignadas por los pacientes pueden diferir de las asignadas por los médicos y pueden proporcionar información adicional sobre la percepción del paciente sobre su estado funcional.

## Clasificación de la variable

En cuanto al tipo de variable es **cuantitativa discreta** debido a que se da en el número de puntos asignados por el paciente de 0 a 100 y de **intervalos** ya que el 0 tiene un significado.

## Medidas de tendencia central

A continuación se presentan las medidas de tendencia central para la variable *pat.karno*:

| Medida   | Valor    |
|----------|----------|
| Media    | 79.95556 |
| Moda     | 90       |
| Mediana  | 80       |
| Q1 (25%) | 70       |
| Q3 (75%) | 90       |

Table 10: Medidas de tendencia central para la variable *pat.karno*

## Medidas de variabilidad

A continuación se presentan las medidas de variabilidad para la variable *pat.karno*:

| Medida                    | Valor       |
|---------------------------|-------------|
| Máximo                    | 100         |
| Mínimo                    | 30          |
| Rango                     | 70          |
| Varianza                  | 213.8373016 |
| Desviación Estándar       | 14.6231769  |
| Coefficiente de Variación | 0.1828913   |

Table 11: Medidas de variabilidad para la variable *pat.karno*

## Prueba de Distribución

La siguiente tabla muestra la distribución de las puntuaciones de rendimiento de Karnofsky asignadas por los pacientes comparada con diferentes tipos de distribución.

| Prueba                            | p-value       |
|-----------------------------------|---------------|
| Anderson-Darling (Normal)         | 1.097726e-14  |
| Kolmogorov-Smirnov (Normal)       | 1.727245e-06  |
| Shapiro-Wilk (Normal)             | 1.129768e-09  |
| Kolmogorov-Smirnov (Exponencial)  | 8.72965e-48   |
| Kolmogorov-Smirnov (Gamma)        | 8.79107e-33   |
| Kolmogorov-Smirnov (Chi-cuadrado) | 7.396948e-196 |

Table 12: Resultados de las pruebas de distribución para la variable *pat.karno*

Como es posible notar la distribución empírica de las puntuaciones de rendimiento de Karnofsky asignadas por los pacientes no sigue ninguna de las distribuciones conocidas (por lo que imbert vamos a ver que hacemos).

## Intervalo de confianza para la media

### Hipótesis creativa (lo mismo)

### Wt.loss

La variable *wt.loss* representa la pérdida de peso en los pacientes con cáncer de pulmón. Específicamente, esta variable indica la cantidad de peso que ha perdido un paciente en los últimos seis meses antes de ser diagnosticado o evaluado.

La pérdida de peso es un indicador importante en oncología, ya que puede reflejar el estado nutricional del paciente y la progresión de la enfermedad. En muchos casos, una pérdida significativa de peso puede asociarse con un pronóstico más desfavorable y puede influir en las decisiones sobre el tratamiento y el manejo del paciente.

Es importante considerar esta variable junto con otras características clínicas y demográficas para obtener una comprensión más completa del estado del paciente y su supervivencia. Esta variable tiene valores negativos, lo que indica que algunos pacientes ganaron peso en lugar de perderlo. Esto puede deberse a una variedad de factores, como

la retención de líquidos, la ganancia de peso relacionada con el tratamiento o la variabilidad en la medición del peso. En cualquier caso, es importante tener en cuenta esta variabilidad al interpretar los resultados del análisis.

### Clasificación de la variable

En cuanto al tipo de variable es **cuantitativa discreta**, aunque el peso generalmente se toma como una variable continua, en este caso se hace un redondeo a los **enteros** que representa el número de libras que ha perdido el paciente. Es de **intervalos** ya que el 0 tiene un significado.

### Medidas de tendencia central

A continuación se presentan las medidas de tendencia central para la variable *wt.loss*:

| Medida   | Valor     |
|----------|-----------|
| Media    | 9.831776  |
| Moda     | 0.000000  |
| Mediana  | 7.000000  |
| Q1 (25%) | 0.000000  |
| Q3 (75%) | 15.750000 |

Table 13: Medidas de tendencia central para la variable *wt.loss*

### Medidas de variabilidad

A continuación se presentan las medidas de variabilidad para la variable *wt.loss*:

| Medida                    | Valor      |
|---------------------------|------------|
| Máximo                    | 68.000000  |
| Mínimo                    | -24.000000 |
| Rango                     | 92.000000  |
| Varianza                  | 172.657014 |
| Desviación Estándar       | 13.139902  |
| Coefficiente de Variación | 1.336473   |

Table 14: Medidas de variabilidad para la variable *wt.loss*

### Prueba de Distribución

El siguiente gráfico muestra la distribución de la pérdida de peso en los pacientes comparada con diferentes tipos de distribución.

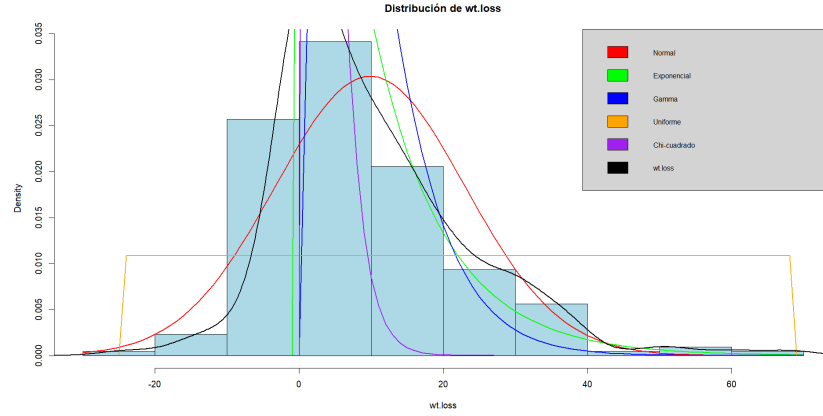


Figure 1: Distribución de la pérdida(o ganancia) de peso

Como es posible notar la distribución empírica de la pérdida de peso no sigue ninguna de las distribuciones conocidas por lo que realizaremos un análisis diferenciado entre las personas que perdieron peso y las que ganaron peso. Haciendo dicho análisis podemos diferenciar los siguientes gráficos:

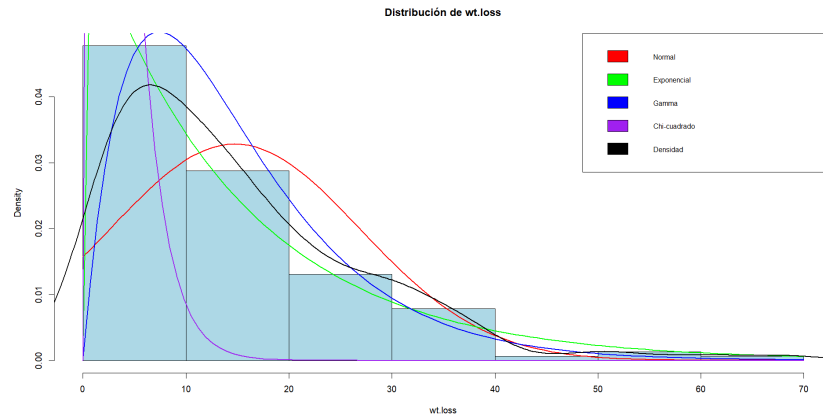


Figure 2: Distribución de la pérdida de peso

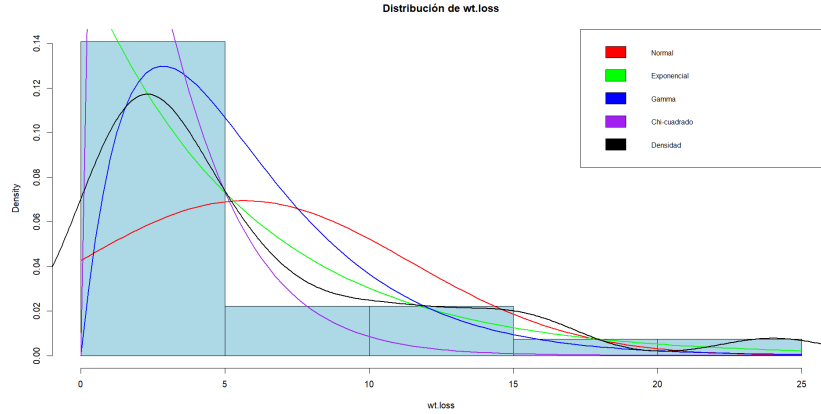


Figure 3: Distribución de la ganancia de peso

Por lo tanto, es conveniente realizar las pruebas de hipótesis para determinar si las variables siguen una distribución específica. Dicha prueba resultó en los siguientes valores:

| Prueba                            | p-value      |
|-----------------------------------|--------------|
| Anderson-Darling (Normal)         | 1.197951e-11 |
| Kolmogorov-Smirnov (Normal)       | 0.005456181  |
| Shapiro-Wilk (Normal)             | 4.066897e-10 |
| Kolmogorov-Smirnov (Exponencial)  | 0.09287115   |
| Kolmogorov-Smirnov (Gamma)        | 0.03941509   |
| Kolmogorov-Smirnov (Chi-cuadrado) | 7.692063e-54 |

Table 15: Resultados de las pruebas de distribución para la variable *wt.loss* de los que perdieron peso

| Prueba                            | p-value      |
|-----------------------------------|--------------|
| Anderson-Darling (Normal)         | 1.613223e-05 |
| Kolmogorov-Smirnov (Normal)       | 0.06862226   |
| Shapiro-Wilk (Normal)             | 6.581438e-05 |
| Kolmogorov-Smirnov (Exponencial)  | 0.4796857    |
| Kolmogorov-Smirnov (Gamma)        | 0.03938671   |
| Kolmogorov-Smirnov (Chi-cuadrado) | 0.03611553   |

Table 16: Resultados de las pruebas de distribución para la variable *wt.loss* de los que ganaron peso

Por lo que podemos concluir que tanto la distribución de la pérdida de peso como la de la ganancia de peso siguen una distribución Exponencial.

### Intervalo de confianza para las media de las personas que perdieron peso

El intervalo de confianza para la media de la variable **wt.loss** de las personas que perdieron peso es de 12.086570460717061 a 18.346939910801844 con un nivel de confianza del 99%. Esto lo podemos saber gracias al siguiente código:

```

1  import pandas as pd
2  import numpy as np
3  from scipy.stats import chi2
4
5  # Leer el archivo CSV y seleccionar la columna 'wt.loss'
6  df = pd.read_csv('lung_dataset.csv')
7  wt_loss = df['wt.loss'].dropna()
8
9  # Filtrar los valores mayores que 0
10 wt_loss_filtered = wt_loss[wt_loss > 0].values
11
12 # Parametros
13 n = len(wt_loss_filtered)
14 alpha = 0.01 # Nivel de significancia (para un intervalo de
15               confianza del 99%)
16
17 # Suma de los datos
18 sum_data = np.sum(wt_loss_filtered)
19
20 # Valores criticos de chi-cuadrado
21 chi2_lower = chi2.ppf(alpha / 2, 2 * n)
22 chi2_upper = chi2.ppf(1 - alpha / 2, 2 * n)
23
24 # Intervalo de confianza
25 lower_bound = (2 * sum_data)/chi2_upper
26 upper_bound = (2 * sum_data)/chi2_lower
27
28 print(f"Intervalo de confianza para la media de una
29       distribucion exponencial: ({lower_bound}, {upper_bound})")

```

Listing 3: Código en Python para calcular el intervalo de confianza para la media de una distribución exponencial

### Intervalo de confianza para la media de la personas que ganaron peso

Análogamente el intervalo de confianza para las media de las personas que ganaron peso está entre 3.621220157012075 y 9.87694081167703 con un 99% de confianza.

### Prueba de Hipótesis

El cáncer de pulmón avanzado es uno de los que estadísticamente provoca más pérdida de peso en aquellos que lo sufren. Según estudios, perder más del 5% del peso corporal en 6 meses o menos es un indicador de un deterioro físico avanzado, dado que el promedio de masa corporal humana a nivel mundial es de 137 lbs, probaremos que aquellos pacientes que fallecen tienden a tener una pérdida de peso corporal de 6.85 lbs (5% de 137 lbs).

Tomemos como hipótesis nula: El valor medio de la pérdida de peso en 6 meses de los pacientes que fallecieron durante el estudio es menor de 6.85 lbs.

Por tanto la hipótesis alternativa es que dicho valor es mayor que 6.85 lbs.

Esto lo podemos calcular con el siguiente código, para un nivel de significación del 0.01

```

1 import numpy as np
2 import pandas as pd
3 from scipy.stats import chi2
4
5 valor_hipotetico = 6.85
6 # Leer el archivo CSV y seleccionar la columna 'wt.loss' y '
   status'
7 df = pd.read_csv('lung_dataset.csv')
8 wt_loss = df[df['status'] == 2]['wt.loss'].dropna()
9
10 # Filtrar los valores mayores que 0
11 wt_loss_filtered = wt_loss[wt_loss > 0].values
12
13 def prueba_hipotesis_exponencial(datos, media_poblacional, alfa
   =0.05):
14     """
15     Realiza una prueba de hipotesis para verificar si la media
       poblacional
16     es menor que un valor dado en una distribucion exponencial.
17
18     Parametros:
19     - datos: lista o array de datos muestrales.
20     - media_poblacional: valor de media poblacional bajo la
       hipotesis nula.
21     - alfa: nivel de significancia (por defecto 0.05).
22
23     Retorna:
24     - Resultado de la prueba y el valor p.
25     """
26     # Calculo de la media muestral y el tamano de la muestra
27     media_muestral = np.mean(datos)
28     n = len(datos)
29
30     # Hipotesis:
31     # H0: Media poblacional <= media_poblacional
32     # H1: Media poblacional > media_poblacional (prueba
       unilateral)
33
34     # Varianza muestral para una exponencial (estimador de maxima
       verosimilitud)
35     varianza_muestral = np.var(datos, ddof=1)
36
37     # Estadistico de prueba (estimador 1/x)
38     estadistico_prueba = n * (media_muestral / media_poblacional)
39     #print(estadistico_prueba)
40     # Valor critico y comparacion
41     valor_critico = chi2.ppf(1 - alfa, df=n)
42     #print(valor_critico)
43     p_valor = 1 - chi2.cdf(estadistico_prueba, df=n)
44

```

```

45     # Resultado
46     if estadistico_prueba > valor_critico:
47         resultado = "Rechazamos la hipotesis nula"
48     else:
49         resultado = "No podemos rechazar la hipotesis nula"
50
51     return resultado, p_valor, estadistico_prueba
52
53 resultado, p_valor, estadistico = prueba_hipotesis_exponencial(
54     wt_loss_filtered, 6.85, 0.01)
55 print(f"Resultado: {resultado}")
56 print(f"Valor p: {p_valor}")
57 print(f"Estadistico de prueba: {estadistico}")

```

Bajo esta prueba se rechaza la hipótesis nula bajo un p-value de 4.779732165616224e-12 por lo que podemos decir que podemos asumir la hipótesis alternativa con un 1% de significancia, y por tanto estadísticamente las personas que fallecen presentan una disminución de peso de más de 6.85 lbs

## Conclusiones

El conjunto de datos del cáncer de pulmón NCCTG proporciona información valiosa sobre los resultados de supervivencia en pacientes con cáncer de pulmón avanzado. Los datos destacan la importancia de las puntuaciones de rendimiento y la pérdida de peso como posibles predictores de la supervivencia. Los estudios futuros podrían utilizar este conjunto de datos para modelado pronóstico más profundo y validación de herramientas clínicas.

## Referencias

- Loprinzi CL, Laurie JA, Wieand HS, Krook JE, Novotny PJ, Kugler JW, et al. "Evaluación prospectiva de variables pronósticas a partir de cuestionarios completados por los pacientes." *Journal of Clinical Oncology*. 12(3):601-7, 1994.
- Therneau T. Documentación del paquete *survival*.